

УДК 621.371.22

ЭКСПЕРИМЕНТАЛЬНОЕ ИССЛЕДОВАНИЕ ПРОДОЛЬНОЙ КОРРЕЛЯЦИИ ЛАЗЕРНОГО ИЗЛУЧЕНИЯ В ТУРБУЛЕНТНОЙ АТМОСФЕРЕ

P. A. Казарян, B. M. Джулакян

Измерен коэффициент продольной корреляции лазерного пучка, распространяющегося в приземном слое турбулентной атмосферы. Значение длины продольной корреляции при $C_n^2 = 5 \cdot 10^{-15} \text{ см}^{-2/3}$ оказалось порядка 300 м.

В литературе как теоретически, так и экспериментально довольно детально изучалась корреляция интенсивности в поперечном сечении лазерного пучка. Из результатов этих работ видно, что при слабых флюктуациях ($\beta_0^2 < 1$, где $\beta_0^2 = 1,23 k^{7/6} C_n^2 L^{11/6}$ — дисперсия флюктуации логарифма интенсивности, найденная в первом приближении МПВ) эксперимент хорошо совпадает с теорией. Размер поперечной корреляции имеет порядок радиуса первой зоны Френеля, равной $\sqrt{\lambda L}$. При больших значениях β_0^2 масштаб корреляции уменьшается по сравнению с $\sqrt{\lambda L}$.

Корреляция флюктуаций интенсивности вдоль направления распространения излучения изучена недостаточно. В литературе [1] имеется лишь указание на то, что продольная длина корреляции при слабых флюктуациях имеет порядок длины трассы. Из результатов теории сильных флюктуаций [2] можно ожидать, что продольная длина корреляции будет порядка $k l_c^2$, где l_c — радиус когерентности поля.

Нами была поставлена задача измерения продольных значений корреляции интенсивности лазерного излучения, распространяющегося в турбулентной атмосфере при $\beta_0^2 \leqslant 0,41$.

1. ЭКСПЕРИМЕНТ

Измерения были проведены осенью 1977 года на полигоне Института физических исследований АН Арм. ССР. Излучение Не-Не лазера с $\lambda = 0,63 \text{ мкм}$ коллимировалось двухметровым коллиматором, входящим в комплект ОСК-2. С помощью диафрагмы из одномодового гауссова пучка вырезалась приосевая часть так, что на выходе из коллиматора получалось почти равномерное распределение интенсивности. До коллиматора был поставлен механический затвор, который открывал пучок в течение одной миллисекунды. Далее пучок с диаметром $D = 15 \text{ см}$ распространялся по горизонтальной трассе на высоте порядка одного метра от поверхности земли. На расстоянии $L = 650 \text{ м}$ пучок с помощью полупрозрачного зеркала делился на два, равных по интенсивности. Отраженный пучок попадал на экран и фотографировался. Прошедший — также фотографировался с идентичным масштабом на расстояниях $L + L_1$. Значения L_1 равнялись 2, 50, 100, 150, 200 и 300 м. Как видно, $\sqrt{\lambda L} \ll D/2$.

Одновременно измерялись скорость и направление ветра, а также оценивалась структурная характеристика поля показателя преломле-

ния C_n^2 . Для этой цели, параллельно с основным, излучался неколлимированный лазерный пучок, который с расстояния 200 см возвращался обратно. Точечным приемником ($d = 0,8 \text{ мм}$, $d \ll \sqrt{\lambda L}$), отнесенными на 1,5 м от передатчика, измерялась дисперсия флуктуаций интенсивности. По ее значениям вычислялось C_n^2 [3]. От трех до пяти пар синхронных снимков получались в течение измерения одного значения C_n^2 (30 с). Поперечная компонента скорости ветра во время измерения не превышала 1 м/с. Выбранная длительность импульса лазерного пучка позволяла считать турбулентную среду «замороженной». Таким образом было получено 260 пар синхронных изображений (негативов) лазерного пучка при различных разнесениях L_1 .

2. ОБРАБОТКА РЕЗУЛЬТАТОВ ИЗМЕРЕНИЙ

Произведение коэффициентов контрастности негатива γ_n и позитива γ_p равнялось двум. Поэтому измеренное на специально собранном оптическом коррелометре [4] максимальное значение смешанного момента для двух позитивов, соответствующих изображениям, снятым синхронно в различных точках трассы, давало коэффициент корреляции квадратов интенсивностей (для простоты они обозначены через $I(x; y)$). Тогда

$$\overline{I_1(x; y) I_2(x; y)} = \frac{1}{S} \iint S I_1(x; y) I_2(x; y) dx dy, \quad (1)$$

где S — сечение пучка. Измерялись также смешанные моменты каждого позитива со своей копией — $\overline{I_1^2(x; y)}$, $\overline{I_2^2(x; y)}$ и средние значения $\overline{I_1(x; y)}$, $\overline{I_2(x; y)}$. После этого вычислялся коэффициент корреляции

$$R_1 = \frac{\overline{I_1(x; y) I_2(x; y)} - \overline{I_1(x; y)} \overline{I_2(x; y)}}{\{[\overline{I_1^2(x; y)} - \overline{I_1(x; y)}^2] [\overline{I_2^2(x; y)} - \overline{I_2(x; y)}^2]\}^{1/2}}. \quad (2)$$

Таким способом было обработано 86 пар изображений из 260, соответствующих одинаковым значениям C_n^2 при различных L_1 .

Корреляция флуктуаций интенсивности R_2 для нескольких пар изображений была определена на голограммической установке [5], где для получения R_2 в качестве фильтра использовалась фурье-голограмма одного из изображений данной пары.

Экспериментальные данные обрабатывались также на ЭВМ. При обработке на голограммической установке и на ЭВМ учитывались характеристические кривые фотоматериалов и, таким образом, получались значения коэффициента корреляции для флуктуаций интенсивности. Для вводов данных в ЭВМ негативы отцифровывались на микроденситометре, управляемом от ЭВМ. Для каждого изображения вычислялись координаты «центра тяжести», после чего определялся коэффициент корреляции изображений при условии совмещения «центров тяжести».

3. РЕЗУЛЬТАТЫ

На графике (рис. 1) показаны экспериментальные значения коэффициента продольной корреляции флуктуаций интенсивности лазерного излучения в турбулентной атмосфере и ее квадрата в зависимости от L_1 — расстояния между точками наблюдения. Данные на графике представляют средние значения R_1 , полученные из 6—15 измерений, соответствующих значениям $C_n^2 = 1,5 \cdot 10^{-15}, 5 \cdot 10^{-15} \text{ см}^{-2/3}$. Знаками +, ·, × обозначены значения R , полученные на голограммической установке,

оптическом коррелометре и на ЭВМ соответственно. При этом доверительные интервалы в первом и втором случаях не превосходили величины 0,1 от значения R . Уровни $R = 0,22; 0,25; 0,38$ определяют шумы, т. е. корреляцию между несинхронными изображениями при различных методах обработки. Так как на голографической установке значения R_2 определялись по максимальным значениям при совмещении пространственного спектра, то эти результаты несколько завышены по сравнению с данными, полученными на ЭВМ, где R_2 находились при совмещенных «центрах тяжести». Как видно из графика, коэффициент продольной корреляции для интенсивности и для квадрата ее на расстоянии 300 м и $C_n^2 = 5 \cdot 10^{-15} \text{ см}^{-2/3}$ падает почти в два раза. На этом же рисунке знаком «о» представлена зависимость параметра $\beta = \beta_0^2 / \beta_{0(L+L_1)}^2 = (1 + L_1/L)^{-11/6}$ от L_1 .

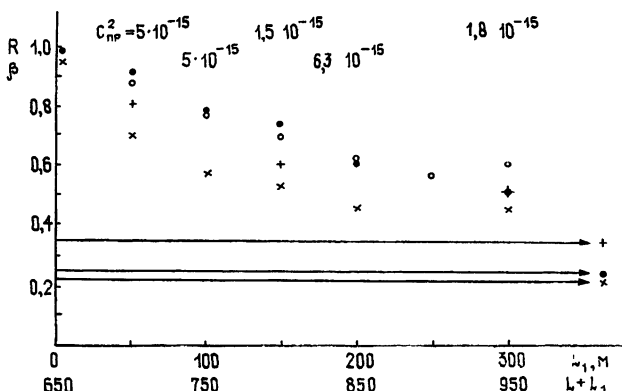


Рис. 1.

Авторы признательны А. С. Гурвичу за ценные обсуждения при выполнении работы, Д. С. Лебедеву и А. Н. Ушакову за составление программы и обработку на ЭВМ, а также коллегам по ИФИ, помогавшим выполнению измерений.

ЛИТЕРАТУРА

1. В. И. Татарский, Теория флюктуационных явлений при распространении волн в турбулентной атмосфере, изд. АН СССР, М., 1959.
2. С. М. Рытов, Ю. А. Кравцов, В. И. Татарский, Введение в статистическую радиофизику, изд. Наука, М., 1978.
3. А. С. Абрамян, Ученые записки Ереванского государственного университета, № 3, 48 (1975).
4. В. М. Джулакян, Простой оптический коррелометр, Изв. АН Арм. ССР, № 5, 1979.
5. А. С. Гурвич, В. М. Джулакян, Р. А. Казарян, Тезисы докладов IV Всесоюзного симпозиума по распространению лазерного излучения в атмосфере, Томск, 1977, с. 34.

Институт физических исследований
АН Арм. ССР

Поступила в редакцию
30 июля 1979 г.

EXPERIMENTAL INVESTIGATION OF LONGITUDINAL CORRELATION
OF LASER RADIATION IN THE TURBULENT ATMOSPHERE

R A Kazaryan, V. M. Dzhulakyan

The coefficient of longitudinal correlation of a laser beam propagating in near-the-earth layer of the turbulent atmosphere is measured. The value of the length of the longitudinal correlation for $C_n^2 = 5 \cdot 10^{-15} \text{ cm}^{-2/3}$ is proved to be of the order of 300 m